

کنترل بهینه رباتها

قسمت دوم - آلگوریتم بهینه سازی

دکتر محسن بهرامی

دانشیار دانشکده مهندسی مکانیک دانشگاه صنعتی امیرکبیر

مهندس غلامرضا نجعی

آزمایشگاه تحقیقاتی ارتعاشات دانشگاه صنعتی امیرکبیر

چکیده

آلگوریتمی برای کنترل زمان بهینه هر سیستم دینامیکی که حالت آغاز و پایانی و مسیر حرکت آن داده شده است، ارائه می شود. به این منظور، ابتدا کنترل بهینه به زبان ریاضی بیان شده و سپس روش نوینی در پاره سازی معادلات دیفرانسیل آورده شده است. آلگوریتم بهینه سازی برای مسئله اساسی نیوتون شرح داده شده و از آن برای کنترل زمان بهینه حرکت پنجه یک ربات 2R بر مسیری دلخواه و مشخص با سکون در آغاز و پایان مسیر استفاده می گردد. این کاربرد در قسمت سوم ارائه خواهد شد.

Optimal Control of Robotic Manipulator Part Two- Optimization Algorithm

Mohsen Bahrami Ph.D

Associate professor of Mech. Eng. Dept.

Amirkabir University of Technology

Gholamreza Nakhaee,M.Sc.

Vibrations Research Laboratory

Amirkabir University of Technology

Abstract:

An Algorithm is given for optimal control of dynamical systems with known initial and final conditions. First a short presentation of optimal control is given, then the new method using central difference is presented, and finally an application is given for a 2R Manipulator.

(۱) مقدمه

اصل بیشینه پوترباگین به کنترل بنگ بنگ متنه می شود [۳]. در حالت کلی داشتن یا یافتن حالت اولیه $[z_1(t_i), \dots, z_n(t_i)]$ بیان کننده سطح $(n-n_i)$ بعدی چون $B_j[x_1(t_i), \dots, x_n(t_i)] = 0$ و $(j=1, 2, \dots, n_i \leq n)$

$$(4)$$

در فضای n بعدی حالت است که اگر $n_i = n$ آنگاه حالت اولیه، نقطه ای را در فضای حالت نشان خواهد داد.

حالت پایانی $[x_1(t_f), \dots, x_n(t_f)]$ همچون حالت آغازین، نمایانگر سطح $(n-n_f)$ بعدی

$$G_j[x_1(t_f), \dots, x_n(t_f)] = 0 \quad (j = 1, \dots, n_f \leq n) \quad (5)$$

در فضای حالت می باشد [۴ و ۲].

همه متغیرهای x_i و u_k و t را چنین می انگاریم که

(الف) توابع معلوم f_0, f_1, \dots, f_n نسبت به متغیرهای u_k پیوسته و نسبت به متغیرهای x_1 پیوسته مشتق پذیر هستند.

(ب) تابع Q پیوسته مشتق پذیر بوده و گرادیان صفر ندارد.

(ج) تعداد n_i تابع B_i و تعداد n_f تابع B_f (بیانگر سطوح آغازین و پایانی در فضای حالت) پیوسته مشتق پذیرند.

۲) کنترل بنگ بنگ برای یک سیستم یک درجه آزادی و صفحه فاز [۵].

در قسمت اول، کنترل بنگ بنگ برای مسأله یک درجه آزادی توضیح داده شد. معادله حرکت یک جرم یکه را در نظر می گیریم.

$$\ddot{x} = f$$

$$\begin{vmatrix} x_1 \\ x_2 \end{vmatrix} = \begin{vmatrix} 0 & 1 & x_1 \\ 0 & 0 & x_2 \end{vmatrix} + \begin{vmatrix} 0 \\ 1 \end{vmatrix} [f] \quad \text{یا}$$

که در آن f نیروی وارد به سیستم با بعد شتاب و $x_1 = x$ و $x_2 = \dot{x}$ باشد.

$$-F_0 \leq f(t) \leq F_0 \quad \text{در گذر از}$$

$$x(t_0) = \begin{vmatrix} x_1(0) \\ x_2(0) \end{vmatrix}$$

در کنترل بهینه، حالت یک سیستم دینامیکی (مکانیکی، الکتریکی، شیمیایی و...) با n متغیر حالت $x_1(t), x_2(t), \dots, x_n(t)$ بیان می شود که در n معادله دیفرانسیل مرتبه اول زیر مصدق می کند.

$$\frac{dx_i}{dt} = f_i(x_1, x_2, \dots, x_n; u_1, u_2, \dots, u_r) \quad (i=1, 2, \dots, n) \quad (1)$$

متغیرهای حالت در سیستمهای مکانیکی، بیشتر، مختصات و سرعتهای فراگیر، در مدارهای الکتریکی، ولتاژ و جریان و در سیستمهای شیمیایی رخنه و غلظت هستند. متغیر مستقل t معمولاً زمان است. هدف مسأله کنترل بهینه، یافتن n متغیر کنترل

$$u_k = u_k(t) \quad (k=1, 2, \dots, r)$$

تابعی از زمان t در بازه $t_i \leq t \leq t_f$ و t به ترتیب زمان آغاز و پایان است، به گونه ای که تابع فراگیر

$$J = \int_{t_i}^{t_f} f_0(x_1, x_2, \dots, x_n; u_1, u_2, \dots, u_r) dt \quad (2)$$

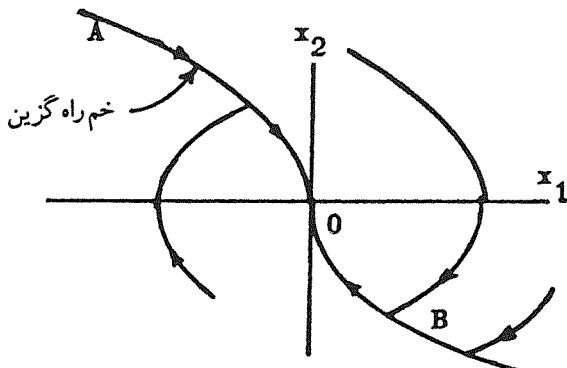
(مانند هزینه، خطای میانگین، زمان، انرژی و...) را نسبت به قیدهای نامساوی

$$Q_j(u_1, u_2, \dots, u_r) \leq 0 \quad (j=1, 2, \dots, N) \quad (3)$$

(بیانگر دامنه پذیرفتی U) کمینه سازد. در کنترل بهینه (چنانکه هدف ماست) ممکن است متغیرهای حالت x_1, x_2, \dots, x_n نیز دارای قید باشند [۲ و ۱].

مقدار بهینه متغیرهای کنترل (t_k, u_k) خط سیر $(t_i = x_i)$ را در فضای n بعدی حالت پدید می آورد. پاسخ چنین مسأله به شرایط مرزی مناسب جهت یافتن اندازه های اولیه و پایانی (t_i, x_i) و (t_f, x_f) نیاز دارد. زمان آغازین t_i و پایانی t_f نیز می توانند ناشناخته باشند.

چنانکه دیده می شود، مسأله کنترل بهینه در سرشت خود مشابه مسأله حساب وردشهاست و روش های آن به طور فراگیر در یافتن پاسخ کنترل بهینه یاری می کنند. این رده از مسأله ها که در آنها متغیر کنترل کراندار بوده و قصد دارد تابعی فراگیر را کمینه سازد با



شکل ۲ - خم راه گزین بهینه

برای حالت‌های بالای این خم راه گزین، کنترل بهینه $f = -F_0$ و برای حالت‌های پایین آن $f = F_0$ است. روشن است که در این مسأله مبدا یک نقطه تکین است [۱-۶]. به بیان ریاضی، سیستم پایدار مجانبی بوده و در مبدا می‌ماند، به شرط آنکه پس از رسیدن به آن، نیرو صفر گردد.

از هر نقطه‌ای از صفحه فاز، یک سهمی بهینه می‌گذرد که حرکت بر آن تا رسیدن به خم راه گزین انجام گرفته و پس از آن بر خم راه گزین تا انتهای حرکت و رسیدن به بمدا حرکت انجام می‌گیرد.

از آنجا که معادله خم راه گزین غیرخطی است، برای سادگی آن را با یک خط جایگزین می‌کنند، اما انتخاب شایسته خط راه گزین، خود یک مسأله بهینه‌سازی است [۶].

برای فهم بهتر آلگوریتم بهینه‌سازی و همچنین آزمون آن، مسأله رساندن جرم m را از مبدا دستگاه فاز یعنی سکون به حالت $x = 0$ با کراندار بودن نیروی وارد بر m به صورت $\dot{x} = f(x)$ با عنوان مسأله اساسی، دنبال کرده و آلگوریتم خود را با یافتن پاسخ آن توجیه می‌کنیم.

پاسخ آشکار این مسأله چنانکه در قسمت اول توضیح داده شد، حرکت تانیمه راه بر $f = F_0$ و سپس سوییج بر $f = -F_0$ تا پایان راه است. آلگوریتمی بنا خواهیم کرد که صرف نظر از نقطه سوییج کردن، بتواند آن را یافته و پاسخ مسأله را به دست آورد.

$$\mathbf{x}(t_f) = \begin{vmatrix} 0 \\ 0 \end{vmatrix}$$

که در آن، t_f صفر فرض شده، پاسخ زمان بهینه $t_f = \pm F_0$ را دارد. به این ترتیب

$$x = f = \pm F_0 \quad (6)$$

$$\dot{x} dx/d\dot{x} = \pm F_0 \quad (7)$$

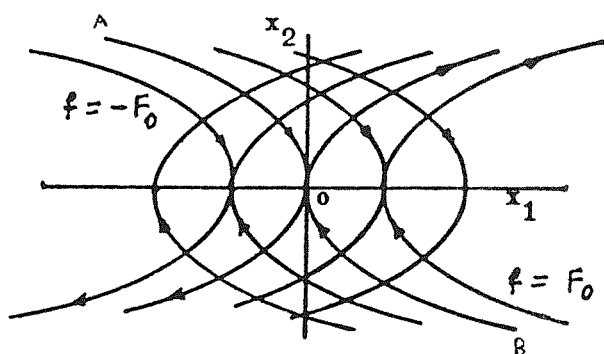
$$\dot{x}^2 = \pm 2F_0 x + c \quad (8)$$

که c یک ثابت انتگرال است. معادله (8) بیانگر دو خانواده سهمی زیر

$$x_2^2 = \pm 2F_0 x_1 + c \quad (9)$$

در صفحه فاز x_1 و x_2 یا x و \dot{x} است. ثابت انتگرال برابر است با

$$c = \dot{x}_0^2 \pm 2F_0 x_0 \equiv \dot{x}_f^2 \pm 2F_0 x_f \quad (10)$$



شکل ۱. خانواده سهمی‌های بهینه در صفحه فاز

و هنگامی که f برابر $-F_0$ یا $+F_0$ باشد، سهمی صفحه فاز به c (که به شرایط اولیه (0) و $x(0)$ بستگی دارد. تنها سهمی‌های A و B از مبدأ می‌گذرند که از آن دو تنها بخش‌های AO و BO با قیدهای نهایی سازگارند. پس همواره بخشی از آنها مسیر بهینه را مشخص می‌کند. این دو خم بر روی هم خم راه گزین (۱۱) یا AOB در شکل ۲ را می‌سازند:

$$x_1(t) = -\frac{1}{2} x_2(t) \ln \left| \frac{x_2(t)}{x_2(0)} \right| \quad (11)$$

۳) روش بهینه‌سازی

به این شیوه می‌توان معادله پیوسته $x = f(t)$ را پاره‌سازی کرده و از کامپیوتر در حل آن بهره گرفت. جای گذاری x و t از (۱۵) و (۱۶) در معادله حرکت، ارتباط f_i را با زمان t_{i-1} و t_i و موقعیتهای x_{i+1} و x_{i-1} و x_i برقرار می‌سازد.

اگر مسیر حرکت مشخص بوده و آن را به n تکه برابر با نابرابر تقسیم کنیم، $n+1$ نقطه و n بازه به دست می‌آید که موقعیتهای x_i ($i=1, \dots, n$) مشخص و معلوم‌ند. هدف یافتن n مجهول t_i است به گونه‌ای که هیچ یک از $n+1$ عدد f_i ها بزرگتر از F_0 نباشد.

اگر معادله نیوتون را

$$f = mx \quad (17)$$

برای تک نقطه‌ها بنویسیم، $n+1$ معادله به صورت

$$\frac{4m}{t_i^2 + t_{i-1}^2} \left(\frac{t_{i-1}}{t_i + t_{i-1}} x_{i+1} - \frac{t_i}{t_i + t_{i-1}} x_{i-1} - x_i \right) = f_i \quad (i=1, \dots, n+1) \quad (18)$$

به دست می‌آید. نقطه ۱ و $n+1$ آغاز و پایان حرکت را بیان می‌کنند که حالت مکانیکی در آنها مشخص است. چون موقعیتهای x_i در تمام نقاط میانی و انتهایی دانسته است پس تنها باید سرعت x در ابتداء و انتهای حرکت معلوم باشند تا حالت مکانیکی در دو انتهای بیان شده باشد. بنا به خواست ما سرعت m در ابتداء و انتهای حرکت صفر است. این فرض لزوماً محدود کننده نیست.

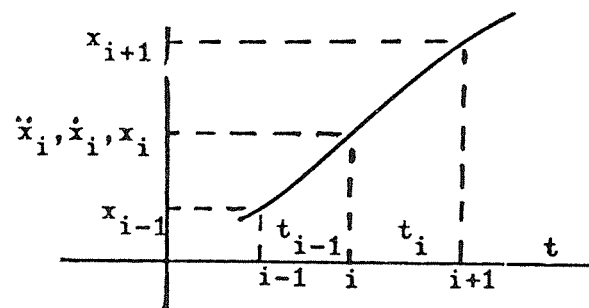


شکل ۴- مسیر حرکت یک بعدی ذره

چنان‌که در روش C.D دیده می‌شود، سرعت و شتاب در هر نقطه با موقعیتهای قبل و بعد آن نقطه وابسته است. بنابراین در آغاز حرکت یعنی نقطه ۱ به نقطه مجازی x_0 و زمان مجازی t_0 نیاز دارد (شکل ۵). به همین ترتیب، در پایان حرکت نیز نقطه و بازه

اگر x تابعی از زمان t بوده و نمای آن در بخشی از محور t چنان باشد که در شکل ۳ نشان داده شده است.

باسود گرفتن از روش ۲، محور t را به بازه‌هایی تقسیم می‌کنیم. اگر بسط‌تیلور x را در نقطه $i+1$ و $i-1$ بر حسب نقطه i و زمانهای t_{i-1} و t_i به گونه‌ای بنویسیم، بیانگر زمان لازم برای رسیدن از نقطه i به $i+1$ باشد [۸ و ۷].



شکل ۳- پاره‌سازی تابع پیوسته

$$x_{i+1} = x_i + \dot{x}_i t_i + \ddot{x}_i t_i^2 / 2 + \dots \quad (12)$$

$$x_{i-1} = x_i - \dot{x}_i t_i + \ddot{x}_i t_{i-1}^2 / 2 - \dots \quad (13)$$

در این صورت با درنظر گرفتن دو جمله از این سریها و کاستن آنها

$$x_{i+1} - x_{i-1} = x_i + \dot{x}_i t_i - x_i + \dot{x}_i t_{i-1} \quad (14)$$

سرعت \dot{x} را در نقطه i می‌یابیم

$$\dot{x}_i = \frac{x_{i+1} - x_{i-1}}{t_i + t_{i-1}} \quad (15)$$

و با درنظر گیری سه جمله از سریهای (۱) و (۲) و افزودن آنها

شتاب x در نقطه i به دست می‌آید

$$(16)$$

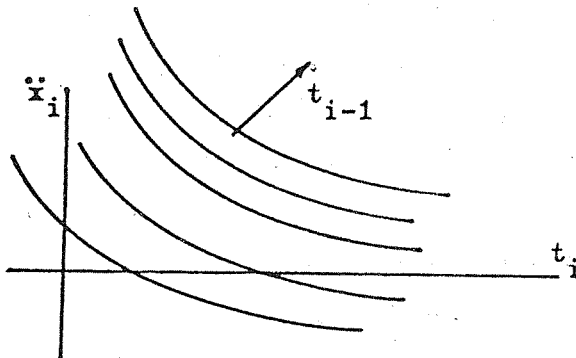
$$\ddot{x}_i = \frac{4}{t_i^2 + t_{i-1}^2} \left(\frac{t_{i-1}}{t_i + t_{i-1}} x_{i+1} + \frac{t_i}{t_i + t_{i-1}} x_{i-1} - x_i \right)$$

می‌توانیم این روش را برای یافتن مشتقهای مراتب بالاتر نیز ادامه دهیم اما چون معادله حرکت نیوتون معادله‌ای از مرتبه دو است، تنها یافتن x و \dot{x} کافی است.

چنانکه از معادله شتاب دیده می‌شود، مقدار نیرو در هر نقطه به زمان قبل و بعد آن نقطه وابسته است و بنابراین هر بازه زمانی نیز بر دو نیروی آغاز و پایان آن بازه زمانی اثر می‌گذارد. برای توجه به این اثر، رابطه شتاب نقطه i را چنین نوشتند

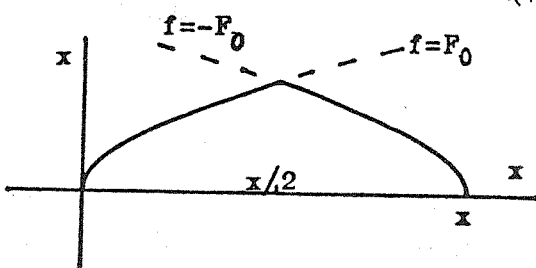
$$\ddot{x}_i = 4 \frac{t_{i-1}(x_{i+1} - x_i) - t_i(x_i - x_{i-1})}{(t_i + t_{i-1})^3} \quad (16)$$

و آن را رسم می‌کنیم (شکل-۶).



شکل ۶- نمودار شتاب در نقطه i بر حسب t_{i+1} و t_i

افزایش i موجب کاهش \ddot{x}_i و افزایش $i-1$ باعث افزایش \ddot{x}_i می‌گردد، بنابراین افزایش i موجب کاهش نیروی f و افزایش نیروی f_{i+1} خواهد شد. همین ویژگی است که راهگشای ایده بهینه‌سازی گردیده و کلید اصلی استفاده از این الگوریتم است. اگر جسم m بخواهد در کمترین زمان از $x(0)=0$ به $x(T)=x_f$ برود، باید در صفحه فاز از مبدأ تا میانه راه بر سهمی $f=F_0$ و سپس بر سهمی $f=-F_0$ حرکت نماید (شکل ۷).



شکل ۷- مسئله اساسی کنترل بنگ بنگ در صفحه فاز

$$\frac{x_0}{0} - \frac{t_0}{1} - \frac{x_1}{1} \frac{t_1}{1} \frac{x_2}{2}$$

شکل ۵- آغاز حرکت و نقطه مجازی

مجازی x_{n+2} و t_{n+1} مورد نیاز است. صفر انگاشتن \dot{x}_i در نقطه ۱، آغاز حرکت

$$\dot{x}_1 = (x_2 - x_1) / (t_1 + t_2) = 0 \quad (19)$$

به این نتیجه می‌انجامد که

$$x_2 = x_1(0) \quad (20)$$

چون باید حرکت از x_1 به x_2 (و درنتیجه از x_0 به x_1) در کمترین زمان صورت گیرد، سپس

$$t_0 = t_1 \quad (21)$$

همین بحث برای نقطه پایانی حرکت نیز وجود دارد و چنین نتیجه می‌شود که

$$x_{n+2} = x_n \quad (22)$$

$$t_{n+1} = t_n \quad (23)$$

اینک n مجھول ($i=1, 1, \dots, n$) و t_i ($i=1, 1, \dots, n+1$) نیروی ناشناخته f_i ($i=1, 1, \dots, n+1$) برای نقطه شناخته شده x_i ($i=1, \dots, n+1$) با معادله حرکت به یکدیگر مربوط می‌شوند.

$$f_1 = 2n(x_2 - x_1) / t_1^2 \quad (24) \text{ برای نقطه آغازین ۱}$$

برای نقطه‌های میانی

$$f_i = \frac{4m}{t_i^2 + t_{i-1}^2} \left(\frac{t_{i-1}}{t_i + t_{i-1}} x_{i+1} + \frac{t_i}{t_i + t_{i-1}} x_{i-1} - x_i \right) \quad (25)$$

(برای نقطه پایانی $n+1$)

$$f_{n+1} = 2m(x_n - x_{n+1}) / t_n^2$$

چنانکه دیده می‌شود، برای موقعیت‌های $x_1 < x_2 < \dots < x_n < x_{n+1}$ و $f_1 > 0$ خواهد بود که این امر، مثبت بودن شتاب در آغاز و منفی بودن آن را در پایان حرکت نشان می‌دهد.

اگر جز در میانه راه بر سهمی $f = -F_0$ تغییر مسیر ندهیم به نقطه نهایی مطلوب نخواهیم رسید و چنانچه قبل یا بعد از نقطه میانی سویچ کنیم برای رسیدن به حالت نهایی مطلوب نباید بر سهمی F_0 یا $F < -F_0$ حرکت کنیم. چنانکه دیده می شود نقطه تغییر مسیر یا نقطه سویچ کردن بسیار مهم است. یافتن نقطه یا نقاط راه گزین در سیستمهای چند درجه آزادی به طریق تحلیلی امکان ندارد وجود هر نوع قیدی باعث جابجایی آن می گردد.

۴) آلگوریتم بهینه سازی

از معادله حرکت نقطه ۱ می توان t_1 را به گونه ای یافت که $f_1 = F_0$ می گردد. با توجه به نحوه ارتباط t_1 و f_1 در معادله حرکت نقطه ۱ روشن می شود که کاهش t_1 ، افزایش f_1 را به همراه دارد، پس کمترین مقدار t_1 همان است که $f_1 = F_0$ را تا F_0 افزایش می دهد.

در نقطه پایانی $n+1$ نیز می توان t_n را همانند t_1 به گونه ای یافت که $f_{n+1} = -F_0$ گردد. بنابراین آشکارانیروی f در ابتدا و انتهای حرکت F_0 و $-F_0$ بوده و t_1 و t_{n+1} نیز مقدار ویژه مربوطه را خواهند داشت. معادله حرکت برای نقطه ۲

(۲۷)

$$f_2 = \frac{4m}{t_2^2 + t_1^2} \left(\frac{t_1}{t_1 + t_2} x_3 + \frac{t_2}{t_1 + t_2} x_1 - x_2 \right)$$

است که در آن تنها t_1 و f_2 نامعلومند زیرا t_1 از معادله نقطه ۱ به دست آمده است.

یک t_2 حدس زده و f_2 را می باییم، اگر $f_2 = F_0$ پس زمان حدسی t_2 کوتاه بوده و باید آن را افزوده و دوباره f_2 را یافت. به این شیوه به یک t_2 که برای آن $f_2 = F_0$ می رسیم، که این مقدار کمترین مقدار برای t_2 خواهد بود.

معادله حرکت برای نقطه ۳

(۲۸)

$$f_3 = \frac{4m}{t_3^2 + t_2^2} \left(\frac{t_2}{t_2 + t_3} x_4 + \frac{t_3}{t_2 + t_3} x_2 - x_3 \right)$$

است که به همان روش t_3 را آنقدر می کاهیم تا هر کاهش دیگر آن، f_3 بگذراند. پیگیری این روند به یافتن t_4 و t_5 و ... تا t_{n-2} می انجامد. معادله حرکت در نقطه $n-1$

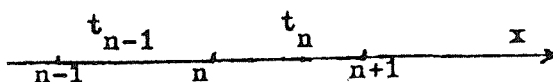
است که کمینه t_{n-1} از آن به دست می آید. اینک به نقطه n یا یکی مانده به آخرین نقطه حرکت می رسیم. معادله حرکت

در نقطه

(۲۹)

$$f_{n-1} = \frac{4m}{t_{n-1}^2 + t_{n-2}^2} \left(\frac{t_{n-2}}{t_{n-1} + t_{n-2}} x_n + \frac{t_{n-1}}{t_{n-1} + t_{n-2}} x_{n-2} - x_{n-1} \right)$$

است که اگر به همان شیوه پیش می رفیم، می باید کمینه t_n را از آن، باییم اما t_n پیش از این برای فراگیری شرط ایستادن در نقطه آخر به دست آمده است. پس در معادله (۲۹) t_{n-1} و t_n به دست آمده اند و هیچ زمان ناشناخته دیگری وجود ندارد. بنابراین نیروی f_n در نقطه n (یکی مانده به آخرین نقطه) مقید بوده و مقدار ویژه ای خواهد داشت که از معادله حرکت نقطه n به دست می آید.

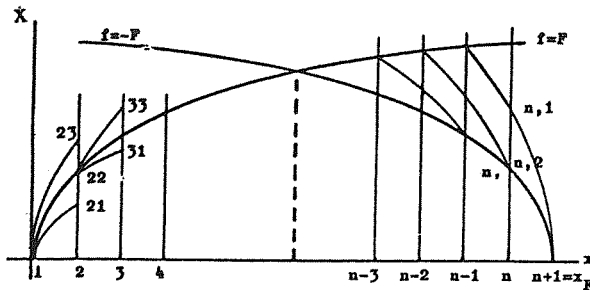


شکل ۸- موقعیت در سه نقطه پایانی

اینک اگر $|F_0| > f_n$ ، چگونه باید آن را کاهش داد؟ با نگاهی به محور x در پایان راه، دیده می شود که t_n در بند f_{n+1} بوده و کمترین مقدار خود را داراست. اگر t_n را بیفزاییم f_n و هر دو کاهش می یابند و این موجب می گردد که در آخرین نقطه، $f_{n+1} < -F_0$. پس باید t_{n-1} را به عنوان راه چاره، بیفزاییم تا f_n کوچکتر شده و از قید $|F_0|$ پایینتر آید. از اینجا مرحله بازگشت آغاز می شود. معادله حرکت را برای نقطه n نوشت

(۳۱)

$$f_n = \frac{4m}{t_n^2 + t_{n-1}^2} \left(\frac{t_{n-1}}{t_n + t_{n-1}} x_{n+1} + \frac{t_n}{t_n + t_{n-1}} x_{n-1} - x_n \right)$$



شکل ۹-آلگوریتم بهینه‌سازی در صفحه فاز

قبل‌آمدیدیم که در آغاز حرکت، علم به اینکه باید $f=F_0$ باشد زمان t_1 را مشخص نمود و همچنین دیدیم که مقدار نیرو در نقطه ۲ (یا موقعیت در صفحه فاز برای x_2) به دو زمان t_1 و t_2 بستگی دارد. اینک حدس زمان t_2 ما را به نقطه (x_2, t_2) در صفحه فاز می‌برد این حرکت بروی یک سهمی خاص انجام می‌گیرد که مربوط به قدر نیرو در نقطه ۲ می‌باشد، چنانچه زمان t_2 آنقدر زیاد باشد که $F_0 < f_2$ در این صورت در نقطه ۲۱ خواهیم بود، کاهش زمان t_2 باعث بالا رفتن نقطه ۲۱ به سمت نقطه ۲۲ روی خط قائم می‌گردد زیرا چنانکه می‌دانیم شب منحنی صفحه فاز با عکس زمان متناسب است زیرا

$$\frac{dx}{dt} = \frac{dx/dt}{dx} = 1/dt \quad (34)$$

این امر از معادله (۳۲) نیز نمایان است. اگر زمان t_2 آنقدر کوتاه باشد که $f_2 > F_0$ در این صورت در نقطه ۲۳ روی خط قائم به سمت نقطه افزایش t_2 باعث می‌شود تا نقطه ۲۳ روی خط قائم به سمت نقطه ۲۲ حرکت کند. نقطه ۲۲ جایی است که در آن $f_1 = f_2 = F_0$ و حرکت از نقطه ۱ به ۲۲ بر سهمی $f = F_0$ انجام گرفته است. اینک بار دیگر این عمل، برای رفتن از نقطه ۲۲ به نقطه ۳۲ انجام می‌گیرد.

این روند تا رسیدن به نقطه (۱) (n-1) انجام می‌گیرد. تا اینجا حرکت بر سهمی $x^2 = 2F_0 x$ یا سهمی مربوط $f = +F_0$ انجام گرفته است. برای آنکه حرکت بر سهمی $+F_0$ ادامه باید و به نقطه n بر آن برویم باید زمان t_n را بهینه سازیم، اما این زمان از صفر بودن سرعت در x_F قبل به دست آمده است. پس حرکت از نقطه

t_{n-1} یا زمان پیش از نقطه n را آنقدر می‌افزاییم تا $f_n = -F_0$ گردد. در حال برگشت دیگر زمان ناشناخته‌ای وجود ندارد، بلکه تنها مقدار آنها کمتر از توانایی ما در وارد کردن نیرو است. اینک به نقطه $n-1$ نگاه می‌کنیم. معادله حرکت نقطه $n-1$ نیز دوزمان t_{n-1} و t_{n-2} را دربر دارد که t_{n-2} در روند اول به دست آمده و F_{n-1} نیز هم اینک در روند بازگشت، برای پایین کشیدن f_n از F_{n-1} در دست آمد. پس f_{n-1} نیز مقید بوده و مقدار ویژه‌ای خواهد داشت. اگر $|F_0| > |f_{n-1}|$ بار دیگر باید t_{n-1} را تا آنجا افزود که $f_{n-1} = +F_0$ گردد. همین روند برای نقطه‌های ۲ و $n-3$ و ... پی‌گرفته می‌شود تا آنجا که در نقطه‌ای چون z که زمان t_{j-1} آن یکی در روند اول و دیگری در روند برگشت پیدا شده‌اند، نیروی f_z کوچکتر از F_0 باشد، اینجاست که حل بهینه پایان می‌باید، زیرا اینک برای $n+1$ نقطه حرکت، $n+1$ نیرو و n زمان در اختیار داریم که کاهش هر یک از زمانهای t_i (i=1,...,n) یکی از نیروهای f_i را از $|F_0|$ می‌گذراند.

۵) آلگوریتم گفته شده در صفحه فاز

می‌دانیم که پاسخ تحلیلی این مسئله حرکت بر سهمی $x^2 = +2F_0 x$ از مبدأ تا میانه راه و سپس حرکت بر سهمی $x^2 = -2F_0 x + 2F_0 x_f$ تا پایان راه می‌باشد.

شکل ۹ سهمیهای بهینه صفحه فاز را نشان داده است. مبدأ، نقطه آغاز حرکت و x_F نقطه پایان آن است. محور افقی x بین مبدأ و x_f بازه به اندازه دلخواه تقسیم شده و موقعیت‌های x_i (i=1,...,n+1) در تمام نقاط مشخص است. زمان لازم برای رفتن از یک نقطه مانند x_i به نقطه بعدی x_{i+1} ، زمان t_i را لازم دارد، اگرچه در صفحه فاز، زمان را نمی‌توان به صورت صریح دید اما با توجه به اینکه

$$\dot{x}_{av} = \Delta x / \Delta t \quad \Delta t = \Delta x / \dot{x}_{av} \quad (32)$$

می‌توان در کسی از زمان به دست آورد. این امر بوسیله در روش معادلات پاره‌شده بخوبی پیداست زیرا با توجه به (۳۰)، زمان t_i برابر است با

$$t_i = \frac{x_{i+1} - x_i}{\frac{1}{2} x_{i+1} + x_i} \quad (33)$$

دیگر در نقطه $n-1$ بر سهمی $f = +F_0$ قرار نداریم زیرا زمان که بر t_{n-1} اثر می‌گذارد بالا رفته است پس نیروی f_{n-1} نیز کمتر از $+F_0$ گردیده است، اما نیروی f_{n-2} هنوز تغییر نکرده و در $n-2$ بر سهمی $f = +F_0$ قرار داریم. در نقطه n نیز بر سهمی $f = -F_0$ قرار گرفته ایم بنابراین رسیدن از $n-2$ بر F_0 برابر $-F_0$ بر سهمی گذرانده از آن دو انجام می‌گیرد که این سهمی، نیرو و موقعیت صفحه فاز را در $n-1$ مشخص می‌کند. این نیور نیز بیش از A_0 است و برای پایین آوردن آن باید تنها زمان ممکن، $f = -F_{n-2}$ را بیفزاییم. با این کار در نقطه $n-1$ به سهمی $f = -F_{n-2}$ می‌رسیم و بار دیگر نیروی F_{n-2} را می‌بابیم و آن را می‌کاهیم. این روند بازگشت همچنان ادامه دارد تا آنکه در نقطه‌ای (که در این مسئله اساسی نقطه میانی یا همسایگی نزدیک آن است) با نیروی مشخص در نقاط جلو و عقب به نیرویی با A_0 برسیم در این صورت کنترل بهینه پایان یافته است زیرا از ابتدا تا پایان حرکت همواره نیرو برابر F_0 یا $-F_0$ بوده (کنترل بنگ بنگ) و کاهش هر یک از زمانها باعث می‌شود که نیروی پس پیش آن از A_0 اتجاوز نماید.

گفته‌های بالا را برای یک مسئله نمونه با $m=1$ و نقطه آغاز $x_F=4$ و نقطه آخر $x_F=5$ با $F_{Max}=0$ می‌آزماییم. x_F تا $x_F=0$ را به $n=50$ بازه تقسیم کرده‌ایم.

در جدول ۲ پایان روند اول را می‌بینید. چنانکه دیده می‌شود نیرو از نقطه اول تا نقطه ۴ روی بیشینه خود ($F_M=5$) قرار دارد نیرو در نقطه پایانی $F_M=-4$ و در نقطه یکی مانده به آخر -8 است که مقدار آن بیشتر از A_0 است. برای پایین آوردن f_4 که پس از یافتن t_{49} از A_0 می‌گذرد باید زمان t_{49} را بیفزاییم. در پایان روند بازگشت، جدول ۳ پدید می‌آید که پاسخ مسئله است. چنانکه دیده می‌شود، نیرو تا نقطه میانی ۲۶ روی بیشینه واز آن به بعد تا پایان راه روی کمینه خود قرار گرفته است.

در قسمت سوم نشان خواهیم داد که چگونه آلگوریتم گفته شده در کنترل بهینه یک ریات بکار رفته و نتایج مطلوب به بار می‌آورد.

پاورقی‌ها:

1. Finite Difference
2. Central Difference

$(n-1, F_0)$ به نقطه آخر x_F یا $(n+1, -F_0)$ بر سهمی یکتای گذرنده از آن دونقطه انجام خواهد گرفت. در صفحه فاز هر سهمی تنها با دونقطه مشخص می‌شود زیرا تمام سهمیهای بهینه در صفحه فاز، محور x (یعنی $x=0$) را با زاویه قائم قطع می‌کنند، زیرا

$$\ddot{x} = \dot{x} \quad d\dot{x}/dx = f \quad d\dot{x}/dx = f/\dot{x} \quad (35)$$

و این شرط همواره یکی از پارامترهای سهمی را مشخص می‌کند. هر سهمی در صفحه فاز با معادله

$$a \ddot{x}^2 + b \dot{x} + c = x \quad (36)$$

مشخص می‌شود که شرط عمود بودن بر محور x با

$$\frac{dx}{d\dot{x}} = \frac{d\dot{x}}{dx} = 0 \quad (37)$$

نتیجه می‌دهد که

$$2a\dot{x} + b = 0 \quad \Rightarrow \quad b = 0 \quad (38)$$

و بنابراین تنها دو شرط (یا دونقطه) برای مشخص شدن سهمی کافی است.

چون رأس سهمی اخیر در جهت مثبت x هاست پس نیروی مربوط به آن منفی (و بیشتر از F_0) است و موقعیت مربوط به نقطه n (نقطه 1) بر آن قرار دارد در حالی که می‌دانیم باید در نقطه $n, 2$ قرار داشته باشد، پایین کشیدن نقطه $n, 1$ به سمت $n, 2$ چاره‌ای ندارد جز آنکه زمان مربوط به نیروی نقطه n را بیفزاییم. نیروی نقطه n به دو زمان t_n و t_{n-1} بستگی دارد. افزایش t_n اگرچه نیروی f_n را می‌کاهد اما نیروی x_F را نیز پایین $f_{n+1} = -F_0$ می‌آورد، درحالی که این نیرو قابل طور دقیق t_{n-1} است. محاسبه شده بود. پس تنها راه باقی مانده، افزایش t_{n-1} است. افزایش t_{n-1} تا جایی صورت می‌گیرد که $f_n = -F_0$ گردد در این صورت بطور تقریبی به نقطه $n, 2$ رسیده‌ایم و در این صورت حرکت از $n, 2$ به نقطه پایانی بر سهمی $f = -F_0$ انجام خواهد گرفت. اینک زمانهای مربوط به نیروی f_{n-1} تغییر کرده‌اند و

جدول ۲ - پاسخ مسئله اساسی کنترل بنگ قبل از روند بازگشت ۵

Node 1 f 1 = 5.049866	Time For X 1 To X 2 = .178
Node 2 f 2 = 4.973891	Time For X 2 To X 3 = 5.360001E-02
Node 3 f 3 = 4.957147	Time For X 3 To X 4 = 4.592001E-02
Node 4 f 4 = 5.007057	Time For X 4 To X 5 = 4.080001E-02
Node 5 f 5 = 4.967199	Time For X 5 To X 6 = 3.712001E-02
Node 6 f 6 = 4.969928	Time For X 6 To X 7 = 3.428801E-02
Node 7 f 7 = 4.982573	Time For X 7 To X 8 = 3.201601E-02
Node 8 f 8 = 4.983807	Time For X 8 To X 9 = 3.014401E-02
Node 9 f 9 = 4.952863	Time For X 9 To X 10 = 2.857601E-02
Node 10 f 10 = 5.008891	Time For X 10 To X 11 = 2.721601E-02
Node 11 f 11 = 5.016388	Time For X 11 To X 12 = 2.603201E-02
Node 12 f 12 = 5.008699	Time For X 12 To X 13 = 2.499201E-02
Node 13 f 13 = 5.029132	Time For X 13 To X 14 = 2.406401E-02
Node 14 f 14 = 5.031329	Time For X 14 To X 15 = 2.323201E-02
Node 15 f 15 = 5.037221	Time For X 15 To X 16 = .02248
Node 16 f 16 = 4.974023	Time For X 16 To X 17 = .0218048
Node 17 f 17 = 5.027021	Time For X 17 To X 18 = .0211808
Node 18 f 18 = 4.96444	Time For X 18 To X 19 = .0206144
Node 19 f 19 = 5.010602	Time For X 19 To X 20 = .0200864
Node 20 f 20 = 4.979519	Time For X 20 To X 21 = .0196
Node 21 f 21 = 4.962472	Time For X 21 To X 22 = .0191488
Node 22 f 22 = 4.97407	Time For X 22 To X 23 = .0187264
Node 23 f 23 = 5.032059	Time For X 23 To X 24 = .0183264
Node 24 f 24 = 4.973768	Time For X 24 To X 25 = .0179552
Node 25 f 25 = 5.009244	Time For X 25 To X 26 = .0176032
Node 26 f 26 = 4.971026	Time For X 26 To X 27 = 1.727359E-02
Node 27 f 27 = 5.000938	Time For X 27 To X 28 = 1.695999E-02
Node 28 f 28 = 4.955746	Time For X 28 To X 29 = 1.666559E-02
Node 29 f 29 = 4.992073	Time For X 29 To X 30 = 1.638399E-02
Node 30 f 30 = 4.952185	Time For X 30 To X 31 = 1.611839E-02
Node 31 f 31 = 5.006899	Time For X 31 To X 32 = 1.586238E-02
Node 32 f 32 = 4.988001	Time For X 32 To X 33 = 1.561918E-02
Node 33 f 33 = 5.015632	Time For X 33 To X 34 = 1.538558E-02
Node 34 f 34 = 5.028057	Time For X 34 To X 35 = 1.516158E-02
Node 35 f 35 = 4.951506	Time For X 35 To X 36 = 1.495038E-02
Node 36 f 36 = 5.009027	Time For X 36 To X 37 = 1.474558E-02
Node 37 f 37 = 4.964536	Time For X 37 To X 38 = 1.455038E-02
Node 38 f 38 = 4.999184	Time For X 38 To X 39 = 1.436158E-02
Node 39 f 39 = 5.020032	Time For X 39 To X 40 = 1.417917E-02
Node 40 f 40 = 5.030868	Time For X 40 To X 41 = 1.400317E-02
Node 41 f 41 = 5.031043	Time For X 41 To X 42 = 1.383357E-02
Node 42 f 42 = 5.019912	Time For X 42 To X 43 = 1.367037E-02
Node 43 f 43 = 4.996848	Time For X 43 To X 44 = 1.351357E-02
Node 44 f 44 = 4.955958	Time For X 44 To X 45 = 1.336317E-02
Node 45 f 45 = 5.016268	Time For X 45 To X 46 = 1.321597E-02
Node 46 f 46 = 4.955704	Time For X 46 To X 47 = 1.307517E-02
Node 47 f 47 = 5.000341	Time For X 47 To X 48 = 1.293757E-02
Node 48 f 48 = 5.043251	Time For X 48 To X 49 = 1.280317E-02
Node 49 f 49 = 4.953758	Time For X 49 To X 50 = 1.267516E-02
Node 50 f 50 = -8.712831	Time For X 50 To X 51 = .178
Node 51 f 51 = -5.049862	Total Time = 1.352835

جدول ۳- پاسخ مسئله اساسی کنترل بنگ بعد از روند بازگشت ۵

Node 1	$f_1 = 5.049866$	Time For X 1 To X 2 = .178
Node 2	$f_2 = 4.973891$	Time For X 2 To X 3 = 5.360001E-02
Node 3	$f_3 = 4.957147$	Time For X 3 To X 4 = 4.592001E-02
Node 4	$f_4 = 5.007057$	Time For X 4 To X 5 = 4.080001E-02
Node 5	$f_5 = 4.967199$	Time For X 5 To X 6 = 3.712001E-02
Node 6	$f_6 = 4.969928$	Time For X 6 To X 7 = 3.428801E-02
Node 7	$f_7 = 4.982573$	Time For X 7 To X 8 = 3.201601E-02
Node 8	$f_8 = 4.983807$	Time For X 8 To X 9 = 3.014401E-02
Node 9	$f_9 = 4.952863$	Time For X 9 To X 10 = 2.857601E-02
Node 10	$f_{10} = 5.008891$	Time For X 10 To X 11 = 2.721601E-02
Node 11	$f_{11} = 5.016388$	Time For X 11 To X 12 = 2.603201E-02
Node 12	$f_{12} = 5.008699$	Time For X 12 To X 13 = 2.499201E-02
Node 13	$f_{13} = 5.029132$	Time For X 13 To X 14 = 2.406401E-02
Node 14	$f_{14} = 5.031329$	Time For X 14 To X 15 = 2.323201E-02
Node 15	$f_{15} = 5.037221$	Time For X 15 To X 16 = .02248
Node 16	$f_{16} = 4.974023$	Time For X 16 To X 17 = .0218048
Node 17	$f_{17} = 5.027021$	Time For X 17 To X 18 = .0211808
Node 18	$f_{18} = 4.96444$	Time For X 18 To X 19 = .0206144
Node 19	$f_{19} = 5.010602$	Time For X 19 To X 20 = .0200864
Node 20	$f_{20} = 4.979519$	Time For X 20 To X 21 = .0196
Node 21	$f_{21} = 4.962472$	Time For X 21 To X 22 = .0191488
Node 22	$f_{22} = 4.97407$	Time For X 22 To X 23 = .0187264
Node 23	$f_{23} = 5.032059$	Time For X 23 To X 24 = .0183264
Node 24	$f_{24} = 4.973768$	Time For X 24 To X 25 = .0179552
Node 25	$f_{25} = 5.009244$	Time For X 25 To X 26 = .0176032
Node 26	$f_{26} = .7306861$	Time For X 26 To X 27 = 1.755359E-02
Node 27	$f_{27} = -4.976711$	Time For X 27 To X 28 = 1.789999E-02
Node 28	$f_{28} = -4.998797$	Time For X 28 To X 29 = 1.826959E-02
Node 29	$f_{29} = -5.009391$	Time For X 29 To X 30 = 1.866398E-02
Node 30	$f_{30} = -4.976638$	Time For X 30 To X 31 = 1.908238E-02
Node 31	$f_{31} = -5.023319$	Time For X 31 To X 32 = 1.953437E-02
Node 32	$f_{32} = -5.013635$	Time For X 32 To X 33 = 2.001918E-02
Node 33	$f_{33} = -5.046007$	Time For X 33 To X 34 = 2.054557E-02
Node 34	$f_{34} = -4.958733$	Time For X 34 To X 35 = 2.110557E-02
Node 35	$f_{35} = -5.023574$	Time For X 35 To X 36 = 2.172236E-02
Node 36	$f_{36} = -4.972436$	Time For X 36 To X 37 = 2.238956E-02
Node 37	$f_{37} = -5.025558$	Time For X 37 To X 38 = 2.313036E-02
Node 38	$f_{38} = -4.975716$	Time For X 38 To X 39 = 2.394156E-02
Node 39	$f_{39} = -5.050287$	Time For X 39 To X 40 = 2.485915E-02
Node 40	$f_{40} = -5.013786$	Time For X 40 To X 41 = 2.588315E-02
Node 41	$f_{41} = -4.967344$	Time For X 41 To X 42 = 2.703355E-02
Node 42	$f_{42} = -5.027675$	Time For X 42 To X 43 = 2.837035E-02
Node 43	$f_{43} = -5.043969$	Time For X 43 To X 44 = 2.993354E-02
Node 44	$f_{44} = -5.032069$	Time For X 44 To X 45 = 3.178315E-02
Node 45	$f_{45} = -5.01027$	Time For X 45 To X 46 = 3.401598E-02
Node 46	$f_{46} = -4.970346$	Time For X 46 To X 47 = 3.677523E-02
Node 47	$f_{47} = -4.961142$	Time For X 47 To X 48 = 4.033769E-02
Node 48	$f_{48} = -5.042427$	Time For X 48 To X 49 = 4.530337E-02
Node 49	$f_{49} = -4.987767$	Time For X 49 To X 50 = .0526755
Node 50	$f_{50} = -5.045336$	Time For X 50 To X 51 = .178
Node 51	$f_{51} = -5.049862$	Total Time = 1.642355

- 1- Kirk, O.E., "Optimal Control Theory: An Introduction", Printice-Hall, 1970
- 2- Lewis, F.L., "Optimal Control", John Wiley, 1986.
- 3- Leitmann, G., "The Calculus of Variations and Optimal Control", Plenum Press, 1981.
- 4- Pontryagin, L.S., Boltyanskii, V.G., Gamkrelidze, R.V. and, Mishchenko, E.F., "The Mathematical Theory of Optimal Processes", Wiley-Interscience, 1962.
- 5- Ogata, K., "Modern Control Engineering", Printice Hall, PP. 774, 1970.
- 6- Utkin, V., "Variable Structure Systems with Sliding Modes", IEEE Trans. of Automat. Contr. Vol. Ac-22, No.2, April 1977.
- 7- Rao, S.S., "Mechanical Vibration", Addison Wesley Co. 1986.
- 8- Sandor, G.N., Erdman, A.G., "Advanced Mechanism Design: Analysis and Synthesis", Vol.2, Printice Hall, 1984

بسمه تعالی
دانشگاه صنعتی امیرکبیر
(واحد تفرش)

آگهی تاسیس پارک صنعتی

دانشگاه صنعتی امیرکبیر واحد تفرش در نظر دارد تجربه موفق دانشگاههای پیشرو در سطح جهان مبنی بر تاسیس پارکهای صنعتی در جوار دانشگاه را به منظور آشنایی و همکاری هرچه بیشتر صنعت و دانشگاه با توان بالغعل و بالقوه یکدیگر به انجام رساند و در این راستا فضای امکانات پژوهشی خود را در اختیار صاحبان صنایع که علاقه‌مند به تحقیقات در محیط دانشگاه هستند، قرار می‌دهد.

لذا از علاقه‌مندان دعوت می‌شود فرم ذیل را تکمیل و به آدرس دفتر مرکزی دانشگاه ارسال نمایند.
جهت کسب هرگونه اطلاع می‌توان همه روزه در ساعات ۱۰-۱۲ با شماره تلفن ۵۸۸۱۱۴ تماس حاصل نمود.
آدرس دفتر مرکزی: تهران - خ حافظ - دانشگاه صنعتی امیرکبیر - دفتر مرکزی تفرش

وایسته به
نام و سمت مسئول پیگیری

زمینه‌های تحقیقاتی مورد نظر

نام مجتمع صنعتی
نام مدیر عامل
زمینه‌های تولید مجتمع
فضای مورد نظر
تجهیزات مورد نیاز